

СГУЩЕНИЕ ГЕОДЕЗИЧЕСКОГО ОБОСНОВАНИЯ ОБРАТНЫМИ ГИРОСКОПИЧЕСКИМИ ЗАСЕЧКАМИ

Для сгущения геодезического обоснования широко применяют аналитические сети, координаты пунктов которых определяют в основном методом засечек. Применение засечек сокращает объем полевых и камеральных работ, позволяет значительно уменьшить количество паружных знаков. Поэтому использование этого метода в различных отраслях геодезического производства вполне



Схема засечки.

оправданно. Тем более оправданно использование для этих целей гиротеодолитов, так как при этом уменьшается число необходимых исходных пунктов.

В данной работе приведены исследования практической точности обратных гирокомпьютерских засечек, измерения в которых выполнены гиротеодолитами типа Ги-Б.

Измерив на определяемом пункте *C* дирекционные углы α_{CA} , α_{CB} и зная координаты исходных пунктов *A*, *B* в сети (см. рисунок), легко определить положение пункта *C* по известным формулам тангенсов дирекционных углов:

$$\begin{aligned} x - x_A &= \frac{(y_B - y_A) - (x_B - x_A) \operatorname{tg} \alpha_{CB}}{\operatorname{tg} \alpha_{CA} - \operatorname{tg} \alpha_{CB}}, \\ y - y_A &= \frac{(x_B - x_A) - (y_B - y_A) \operatorname{ctg} \alpha_{CB}}{\operatorname{ctg} \alpha_{CA} - \operatorname{ctg} \alpha_{CB}}. \end{aligned} \quad (1)$$

Для контроля служат формулы

$$\begin{aligned} x - x_B &= \frac{(y_B - y_A) - (x_B - x_A) \operatorname{tg} \alpha_{CA}}{\operatorname{tg} \alpha_{CA} - \operatorname{tg} \alpha_{CB}}, \\ y - y_B &= \frac{(x_B - x_A) - (y_B - y_A) \operatorname{ctg} \alpha_{CA}}{\operatorname{ctg} \alpha_{CA} - \operatorname{ctg} \alpha_{CB}}. \end{aligned} \quad (2)$$

или

$$y - y_A = (x - x_A) \operatorname{tg} \alpha_{CA}, \quad y - y_B = (x - x_A) \operatorname{tg} \alpha_{CB}. \quad (3)$$

Составим весовые функции для оценки точности положения пункта *C*, для чего абсциссу и ординату этой точки выразим в виде

$$\begin{aligned} x_C &= x_A + S_2 \cos \alpha_{AC} = x_A - S_2 \cos \alpha_{CA}, \\ y_C &= y_A + S_2 \sin \alpha_{AC} = y_A - S_2 \sin \alpha_{CA}. \end{aligned} \quad (4)$$

Считая координаты исходного пункта безошибочными, после дифференцирования последних формул (4) по переменным α_{CA} и S_2 будем иметь

$$\begin{aligned} f_1 &= S_2 \sin \alpha_{CA} \frac{(\alpha_{CA})''}{\rho''} - \cos \alpha_{CA} (S_2), \\ f_2 &= -S_2 \cos \alpha_{CA} \frac{(\alpha_{CA})''}{\rho''} - \sin \alpha_{CA} (S_2). \end{aligned} \quad (5)$$

Чтобы выразить поправку S_2 через поправки измеренных дирекционных углов, используем формулу

$$S_2 = S \frac{\sin 1}{\sin 3}. \quad (6)$$

Считая исходную сторону безошибочной, найдем частные производные от S_2 по переменным углам I и 3 . С учетом того, что $I = \alpha_{CB} - \alpha_{AB}$ и $3 = \alpha_{CA} - \alpha_{CB}$, имеем

$$(S_2) = \frac{S_2}{\rho''} (\operatorname{ctg} 1 + \operatorname{ctg} 3) (\alpha_{CB}) - \frac{S_2}{\rho''} \operatorname{ctg} 3 (\alpha_{CA}). \quad (7)$$

Подставив S_2 из (7) в (5), выразим функции f_1 и f_2 через поправки в измеренные величины

$$f_1 = \left(\frac{\Delta y_{CA}}{\rho''} + \frac{\Delta x_{CA}}{\rho''} \operatorname{ctg} 3 \right) (\alpha_{CA}) - \frac{\Delta x_{CA}}{\rho'} (\operatorname{ctg} 1 + \operatorname{ctg} 3) (\alpha_{CB}),$$

$$f_2 = \left(\frac{\Delta y_{CA}}{\rho''} \operatorname{ctg} 3 - \frac{\Delta x_{CA}}{\rho''} \right) (\alpha_{CA}) - \frac{\Delta y_{CA}}{\rho''} (\operatorname{ctg} 1 + \operatorname{ctg} 3) (\alpha_{CB}). \quad (8)$$

Используя теорию строгого уравнивания коррелатным методом, получаем обратные веса уравненных значений координат пункта *C* по известной формуле

$$\frac{1}{P_{ff}} = [ff] - \frac{[af]^2}{[aa]} - \frac{[bf \cdot 1]^2}{[bb \cdot 1]} - \dots \quad (9)$$

Но так как в данном построении нет избыточных измерений, то

$$1/P_{ff} = [ff]. \quad (10)$$

Подставив в (10) квадратичные коэффициенты, найдем обратные веса абсциссы и ординаты определяемого пункта

$$\frac{1}{P_{ff}} = \left(\frac{\Delta y_{CA}}{\rho''} + \frac{\Delta x_{CA}}{\rho''} \operatorname{ctg} 3 + \right)^2 \frac{\Delta x_{CA}^2}{\rho'^2} (\operatorname{ctg} 1 + \operatorname{ctg} 3)^2,$$

$$\frac{1}{P_{f_1}} = \left(\frac{\Delta y_{CA}}{\rho''} \operatorname{ctg} 3 - \frac{\Delta x_{CA}}{\rho''} \right)^2 + \frac{\Delta y_{CA}^2}{\rho''^2} (\operatorname{ctg} 1 + \operatorname{ctg} 3)^2. \quad (11)$$

Обратный вес абсолютного положения пункта C равен

$$\frac{1}{P_f} = \frac{1}{P_{f_1}} + \frac{1}{P_{f_2}} = \frac{S_1^2}{\rho''^2} (1 + \operatorname{ctg}^2 1 + 2 \operatorname{ctg}^2 3 + 2 \operatorname{ctg} 1 \operatorname{ctg} 3). \quad (12)$$

С учетом (6) после несложных преобразований получим

$$\frac{1}{P_f} = \frac{S_1^2}{\rho''^2} \cdot \frac{\sin^2 1 + \sin^2 \{1 + 3\}}{\sin^4 3}.$$

Но так как $\{1+3\} = 180^\circ - 2$, то

$$\frac{1}{P_f} = \frac{S_1^2}{\rho''^2} \cdot \frac{\sin^2 1 + \sin^2 2}{\sin^4 3},$$

а погрешность абсолютного положения пункта C

$$M_C = m_a^* \sqrt{\frac{1}{P_f}} = \frac{m_a^* S_1}{\rho''} \sqrt{\frac{\sin^2 1 + \sin^2 2}{\sin^4 3}}. \quad (13)$$

Здесь m_a — погрешность определения дирекционного угла.

Выражение (13) аналогично известной формуле погрешности положения пункта в прямой угловой засечке [2]. Детальный анализ этой формулы показал, что в равнобедренной засечке абсолютная погрешность положения определяемого пункта минимальна при угле засечки 90° [2].

Для исследования реальной точности обратной однократной тирископической засечки в сети триангуляции 3 класса наблюдались 42 засечки. Гирроскопические азимуты определялись с той же погрешностью $m_a = 5''$. По малости поправок за приведение дирекционных углов на плоскость они не учитывались.

Характеристики сетей, а также результаты вычислений приведены в таблице. Знаком «*» в ней обозначены сети, в которых исходная сторона S_1 длиннее стороны S_2 до определяемого пункта. Невязки определены по разностям координат, вычисленным по (1), полученным в триангуляции 3 класса и принятым за безошибочные. Погрешности $M_{\text{пред}}$ вычисляли по формуле (13) при $m_a = 5''$.

Расхождения между $f_{\text{абс}}$ и $M_{\text{пред}}$ показывают, что погрешности ориентирования в сетях меньше $5''$. Из значений $f_{\text{абс}}$ следует, что гирроскоподолиты типа Ги-Б обеспечивают привязку пунктов обратной однократной засечкой с точностью, соответствующей триангуляции I разряда. При углах засечки от 25 до 150° и расстояниях до 5 км практически во всех сетях обеспечивается требуемая точность.

Сравнивая значения $M_{\text{пред}}$, полученные для засечек с разными геометрическими характеристиками, можно утверждать, что отклонение фигуры от равнобедренного треугольника мало влияет.

Характеристики и результаты обработки реальных тирископических засечек

Показатели	Параметры засечек													
	7	9	19	26	26	28	28	33	34	36	37	37	38	39
Угол при определяемом пункте, ... Меньший из углов при исх. стороне, ...	9	7	26	19	54	36	39	61	26	28	33	39	66	37
S_1 , км	2,9	4,0	2,2	2,9	2,2	3,6	3,5	2,2	2,7	4,4	3,5	2,7	2,2	2,9
S_2 , км	6,8	6,8	4,7	4,7	4,3	6,8	6,8	4,0	4,3	6,8	4,0	4,4	3,4	4,4
S_3 , км	4,0	2,9	2,9	2,2	2,7	4,4	4,7	3,5	2,2	3,5	2,2	2,9	3,2	2,7
$S_2 : S_1$	2,34	1,70	2,14	1,62	1,95	1,89	1,94	1,82	1,59	1,55	1,14	1,63	1,55	1,52
$S_2 : S_3$	1,70	2,34	1,62	2,14	1,59	1,55	1,45	1,14	1,95	1,94	1,82	1,52	1,06	1,63
$f_{\text{абс}}$, см	140,5	78,1	38,2	3,5	5,9	26,6	25,3	16,4	3,6	52,5	8,7	17,8	5,5	5,2
$M_{\text{пред}}$ при $m_a = 5''$, см	166,7	112,9	40,8	28,7	28,2	42,0	42,4	23,7	21,0	32,0	12,6	21,5	18,4	20,0
Угол при определяемом пункте, ... Меньший из углов при исх. стороне, ...	39	40	42	47	52	53	55	56	59	59	60	65	66	66
S_1 , км	4,7	3,0	2,7	3,4	3,5	3,6	2,9	4,3	3,0	4,4	3,6	4,7	3,2	3,2
S_2 , км	6,8	4,7	4,0	4,7	4,3	4,3	3,2	4,7	3,2	4,7	4,0	4,0	3,0	3,4
S_3 , км	3,5	3,5	3,5	3,0	3,5	3,5	3,0	4,4	2,9	4,3	2,7	4,3	2,9	2,2
$S_2 : S_1$	1,45	1,57	1,48	1,38	1,23	1,19	1,10	1,09	1,07	1,07	1,11	0,94*	0,94*	1,06
$S_2 : S_3$	1,94	1,34	1,14	1,57	1,23	1,23	1,07	1,07	1,10	1,09	1,48	1,02	1,03	1,55
$f_{\text{абс}}$, см	28,3	2,9	17,3	24,0	5,9	3,4	4,7	24,6	8,0	4,1	11,4	6,1	18,6	3,6
$M_{\text{пред}}$ при $m_a = 5''$, см	29,2	21,9	18,0	18,5	17,1	16,7	12,9	18,9	12,2	17,8	13,6	16,5	11,1	10,7
Угол при определяемом пункте, ... Меньший из углов при исх. стороне, ...	75	75	78	87	94	99	102	104	112	117	121	135	152	164
S_1 , км	4,3	6,7	4,0	4,0	4,7	5,9	5,9	4,4	6,8	6,8	4,3	4,7	6,7	6,8
S_2 , км	3,5	6,8	3,5	3,5	3,4	4,3	4,4	2,9	4,7	4,4	2,7	2,9	3,5	4,0
S_3 , км	3,5	3,0	2,7	2,2	3,0	3,4	3,0	2,7	3,5	3,5	2,2	2,2	3,4	2,9
$S_2 : S_1$	0,81*	1,01	0,88*	0,88*	0,72*	0,73*	0,75*	0,66*	0,69*	0,65*	0,63*	0,62*	0,53*	0,59*
$S_2 : S_3$	1,00	2,27	1,30	1,59	1,13	1,26	1,47	1,07	1,34	1,26	1,23	1,32	1,03	1,38
$f_{\text{абс}}$, см	16,9	27,9	5,8	3,5	6,4	3,8	28,1	4,2	3,9	7,0	2,5	7,1	4,5	4,1
$M_{\text{пред}}$ при $m_a = 5''$, см	12,5	18,7	11,1	10,0	11,0	13,4	13,3	10,0	15,3	15,4	9,8	12,4	25,4	44,0

на точность определяемого пункта. Так, при равных углах засечки на разных длинах сторон S_1 и S_2 значения $M_{\text{пред}}$, равны (см. табл., графы 32, 34). Точность также мало зависит от угла засечки в интервале $30^\circ \dots 150^\circ$. Так, при равенстве других параметров, но разных углах засечки, значения $M_{\text{пред}}$ практически равны между собой (см. табл., графы 12, 34).

Анализ результатов, приведенных в таблице, показывает, что точность положения пункта существенно зависит от длины наибольшей стороны, а также от соотношения длины этой стороны и исходной. Так, при равных углах засечки, но существенном различии соотношений $S_2 : S_1$, величины $M_{\text{пред}}$ значительно разнятся (см. табл., графы 12, 13).

Если наибольшая сторона превышает 4 км, то предвычисленная точность положения определяемого пункта практически при любых углах засечки не удовлетворяет требованиям триангуляции I разряда (см. табл., графы 24, 26, 33). По мере приближения определяемого пункта к исходным, точность его существенно повышается. В сетях, обозначенных значком «*», погрешности положения пунктов не превышают допусков, установленных для сетей триангуляции I разряда [1].

Таким образом, для привязки пунктов обратной однократной гирроскопической засечкой с точностью, удовлетворяющей триангуляции I разряда, необходимо выполнение следующих условий: предельная ошибка дирекционного угла $\leq 5''$; наименьший угол при определяемом пункте 30° ; максимальная длина стороны до исходного пункта 4 км.

Отношение наибольшей стороны до исходного пункта к исходной стороне $\leq 1,2$.

1. Инструкция по топографической съемке в масштабах 1:5000, 1:2000, 1:1000 и 1:500. — М.: Недра 1973. — 176 с. 2. Кузьмин Б. С., Литвинов Б. А. Руководство по геодезии: (Общие сведения и триангуляция). — М.: ВИАР, 1961. — 722 с.

Статья поступила в редакцию 20.05.88

УДК 528.44

Р. Г. ПИЛИПЮК, Е. Ю. ИЛЬКИВ

ИССЛЕДОВАНИЕ УСТОЙЧИВОСТИ РЕПЕРОВ ВЫСОТНОЙ ОСНОВЫ МЕТОДОМ ПОСЛЕДОВАТЕЛЬНЫХ ПРИБЛИЖЕНИЙ

Обеспечение надежной эксплуатации сложных инженерных сооружений невозможно без достоверного установления их деформационных характеристик. Поэтому проблема надежного определения устойчивости реперов, составляющих высотную основу для исследований деформаций, несомненно актуальна.

В настоящее время геодезическая практика располагает значительным числом методов исследований, однако, как показано в [1, 3], достоверные результаты исследований достигаются лишь в частных случаях. Причиной является вырожденность матрицы нормальных уравнений, что приводит к множеству решений, удовлетворяющих исходную систему уравнений. Наиболее целесобранно решить эту проблему путем использования псевдообратных матриц по методике, предложеной в [2]. Решение, получаемое по той методике,

$$H^0 = (A^T P A)^{-1} A^T P h, \quad (1)$$

обладает минимальной дисперсией и, по мнению автора [2], позволяет установить стабильность реперов.

В (1) H^0 — вектор искомых вертикальных смещений реперов; h — вектор разностей превышений, измеренных в исследуемых циклах; P — матрица весов разностей измеренных превышений; A — матрица коэффициентов уравнений поправок. Оценки устойчивости выполняют по критерию

$$|H_i^0| < m_{\text{пред}} = 2 \mu \sqrt{b_{ii}}, \quad (2)$$

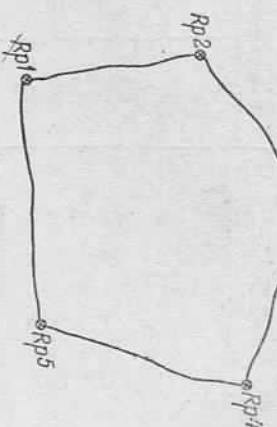
где b_{ii} — диагональные элементы корреляционной матрицы вектора H^0 i -го репера; μ — средняя квадратическая ошибка единицы веса.

Анализ (1) показывает, что смещения H^0 определяются относительно горизонтальной плоскости отсчета, соответствующей псевдообратной матрице $B^+ = (A^T P A)^{-1}$ и расположенной на уровне средней отметки всех реперов сети. Таким образом, пространственное положение плоскости отсчета зависит от осадок каждого репера сети. Если допустить, что сеть состоит в основном из стабильных реперов, а смещению подвержены только отдельные из них, то смещения всех реперов H^0 , вычисленные от плоскости отсчета, определяемой псевдообратной матрицей B^+ , будутискажены. Это положение является существенным недостатком данной методики и может привести к ошибочным выводам при исследовании стабильности реперов и, соответственно, к неверному определению деформаций инженерных сооружений.

Для подтверждения сказанного выше рассмотрим нивелирную сеть, представленную на рисунке.

Разности h превышений, измеренных в двух смежных циклах наблюдений, приведены в табл. 1, причем через h_0 обозначены исходные значения.

Зададим реперам $Rp3$ и $Rp5$ смещение $s_3 = s_5 = +2$ м.



Нивелирная сеть.